



HAL
open science

Les rayons des permutations spirales

Jean-Guillaume Dumas

► **To cite this version:**

Jean-Guillaume Dumas. Les rayons des permutations spirales. *Mathématiques et Sciences Humaines*, 2010, 192 (4), pp.5-26. hal-00447415v5

HAL Id: hal-00447415

<https://hal.science/hal-00447415v5>

Submitted on 23 Feb 2010

HAL is a multi-disciplinary open access archive for the deposit and dissemination of scientific research documents, whether they are published or not. The documents may come from teaching and research institutions in France or abroad, or from public or private research centers.

L'archive ouverte pluridisciplinaire **HAL**, est destinée au dépôt et à la diffusion de documents scientifiques de niveau recherche, publiés ou non, émanant des établissements d'enseignement et de recherche français ou étrangers, des laboratoires publics ou privés.

LES RAYONS DES PERMUTATIONS SPIRALES

Jean-Guillaume Dumas *

Résumé

Nous donnons une nouvelle caractérisation des quenines, puis prouvons la conjecture de [Dumas, 2008] sur l'orientation des rayons spirales. Nous donnons les équivalences entre les battements de cartes définis par [Asveld, 2009] et les quenines, pérecquines, mongines de Jacques Roubaud, ainsi que la quatrième variante possible, ici dénommée roubine. Ensuite, nous démontrons la conjecture [Asveld, 2009, Conjecture 7.2], en reliant les permutations spirales aux générateurs congruentiels linéaires. Enfin nous en déduisons une définition générale et des constructions de permutations spirales pour tout entier.

Oh la jolie 3-septine ordonnée sortante : [7<-5 4<-3 2<-1]

Summary

We give a new characterization of quenines and prove the conjecture of [Dumas, 2008] on spiral rays orientation. We give relations between the shuffles of [Asveld, 2009] and the quenines, pérecquines, mongines of Jacques Roubaud, together with the fourth possible variant, the roubine. Then we prove the conjecture [Asveld, 2009, Conjecture 7.2] by relating spiral permutations to linear congruential generators. Finally we propose definitions and constructions of spiral permutations for any integer.

Mots-clefs : Entrine ; Permutation de Queneau-Daniel ; Permutation Spirale ; Quenine ; Rayon de spirale ; Roubine ; Sextine ; Sortine ; Spirale ; Spiruline.

1 Introduction

Nous considérons la permutation δ_n définie comme suit :

$$\delta_n(x) = \begin{cases} 2x & \text{si } 2x \leq n \\ 2n + 1 - 2x & \text{sinon} \end{cases}$$

L'idée est de considérer les entiers modulo $2n + 1$. Dans ce cas, $\delta_n(x)$ est simplement plus ou moins $2x$: il existe un $e \in \{0, 1\}$ tel que $\delta_n(x) \equiv (-1)^e 2x \pmod{2n + 1}$.

Nous avons donné dans [Dumas, 2008] une caractérisation complète des quenines (permutations δ_n formant un cycle de longueur n , n est dans ce cas dit **admissible**) définies par Raymond Queneau, puis Jacques Roubaud [Roubaud, 2000]. Ainsi, nous pouvons décider facilement si une quenine donnée existe ou non. Suite aux articles de Joerg Arndt [Arndt, 2010, §40.8.2], puis Peter Asveld [Asveld, 2009, §3] nous déduisons la caractérisation suivante, plus précise mais moins pratique à tester. Cette caractérisation est quasiment celle donnée par [Asveld, 2009, Théorème 3.5] ; ce corollaire, que nous (re)démontrons donc en annexe, induit ainsi que [Dumas, 2008, Théorème 2] et [Asveld, 2009, Théorème 3.5] sont bien équivalents.

*Laboratoire J. Kuntzmann, 51, rue des Mathématiques. Université de Grenoble. UMR CNRS 5224, BP 53X, F38041 Grenoble, France, Jean-Guillaume.Dumas@imag.fr, ljk.imag.fr/membres/Jean-Guillaume.Dumas. Ce travail a été réalisé pour partie alors que l'auteur visitait le « Claude Shannon Institute » et la « School of Mathematical Sciences » de l'« University College Dublin », Irlande, en délégation CNRS.

COROLLAIRE 1. $2n + 1$ étant premier, soit $\mathbb{Z}/2n+1\mathbb{Z}$ le corps à $2n + 1$ éléments, alors n est admissible si et seulement si :

- i. $n \equiv 1 \pmod{4}$; $+2$ est primitif et -2 d'ordre exactement n dans $\mathbb{Z}/2n+1\mathbb{Z}$
- ii. $n \equiv 2 \pmod{4}$; $+2$ et -2 sont racines primitives dans $\mathbb{Z}/2n+1\mathbb{Z}$
- iii. $n \equiv 3 \pmod{4}$; -2 est primitif et $+2$ d'ordre exactement n dans $\mathbb{Z}/2n+1\mathbb{Z}$

Cette caractérisation s'applique donc également à la caractérisation des entiers pour lesquels des « bases normales optimales de type 2 » existent dans $\mathbf{GF}(2^n)$ [Arndt, 2010, §40.8.2] (voir e.g. [Mullin et al., 1989, Théorème 3.2] pour plus de détails), ainsi qu'à la caractérisation de certains battements de cartes [Asveld, 2009, §3], pour par exemple décrire des synchronisations de processus concurrents (voir e.g. [Jantzen, 1981] pour plus de détails).

On voit que le multiplicateur 2 dans la définition des quenines joue un rôle prépondérant. En particulier, il induit que les quenines sont des spirales comportant deux « rayons » : à partir du centre de la spirale, on trouve deux séquences d'entiers consécutifs. J. Roubaud a ensuite généralisé les quenines en considérant des multiplicateurs différents de deux et nous avons montré que cela correspondait à l'obtention d'autant de séquences d'entiers consécutifs dans la représentation spirale. Dans cet article nous nous intéressons de plus près à ces rayons et en déduisons de nouvelles constructions de spirales.

Dans la section 2, nous donnons une construction « polynomiale » des g -quenines : en prenant une racine primitive en $O(\log(n))$, nous montrons qu'il suffit de $O(\log^3(n))$ opérations arithmétiques pour trouver tous les rayons de la spirale et leurs orientations. En section 3, nous donnons les correspondances entre les définitions de J. Roubaud et de P. Asveld pour les différentes permutations spirales et introduisons la dernière possibilité de stricte permutation spirale après les quenines, pérecquines et mongines : les roubines. Ensuite, en section 4, nous caractérisons les roubines, par des techniques de générateurs congruents linéaires, puis en déduisons, en section 5, la spiruline, permutation spirale pour tout entier. Enfin, en sections 6 et 7, nous classifions les notions de jolie permutation spirale, de permutation spirale ordonnée, entrante ou sortante, grâce à leurs rayons. Ceci donne une alternative graphique aux spirales et aux spinines pour la construction générale de permutations spirales. Enfin, nous remarquons en section 8 que sur une représentation carrée, les rayons des permutations spirales deviennent des segments parallèles.

2 Orientation des rayons

Les quenines se généralisent, en choisissant une autre racine primitive que 2, à tous les entiers n tels que $2n + 1$ est premier. Ainsi, en choisissant le multiplicateur k conformément à [Dumas, 2008, Théorème 3], il est possible de dessiner la permutation comme une spirale avec k rayons sur lesquels nous devons ensuite placer les nombres. Le changement de signe de la congruence induit des changements d'orientation successifs des rayons comme sur la figure 1. Un rayon est dit **sortant** si il est croissant vers l'extérieur de la spirale et **entrant** si il est croissant vers l'intérieur.

En observant l'orientation des rayons sur différentes quenines, comme par exemple sur la figure 2, il apparaît que les $3, n$ -quenines de type 1 (rayon sortant à gauche) sont celles qui vérifient $n \equiv 0 \pmod{3}$, alors que les $3, n$ -quenines de type 2 (rayon sortant à droite) vérifient $n \equiv 2 \pmod{3}$, comme démontré ci-après.

LEMME 1. Une $3, n$ -quenine a son rayon sortant à gauche si et seulement si $n \equiv 0 \pmod{3}$.

Une $3, n$ -quenine a son rayon sortant à droite si et seulement si $n \equiv 2 \pmod{3}$.

Démonstration. Considérons $\delta_{n,3}$:

$$\delta_{n,3}(x) \equiv \begin{cases} 3 \cdot x & \text{si } 3x \leq n & \text{entrant } \rightarrow \cdot \\ (2n+1) - 3 \cdot x & \text{si } n+1 \leq 3x \leq 2n & \text{sortant } \leftarrow \cdot \\ -(2n+1) + 3 \cdot x & \text{sinon} & \text{entrant } \rightarrow \cdot \end{cases}$$

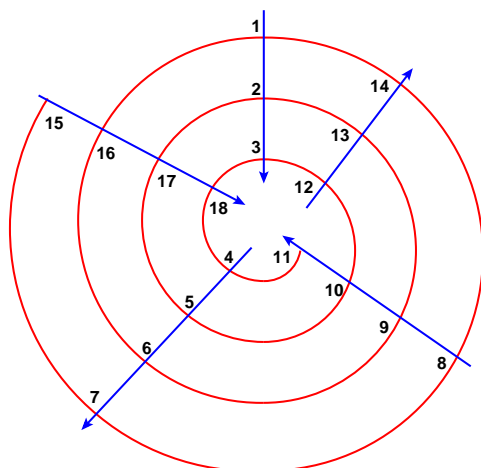


FIGURE 1 – La 5-dixhuitine

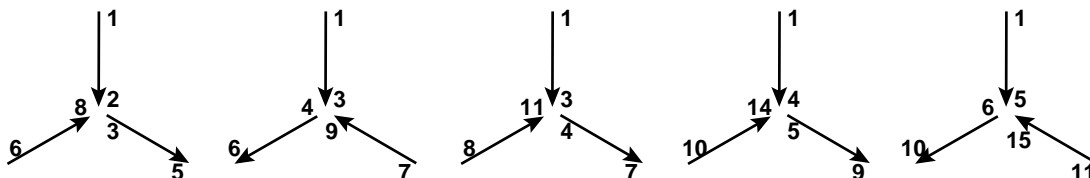


FIGURE 2 – Quelques orientations de 3, n -quenines

Les rayons d'une 3-queenne correspondent aux trois cas possibles dans la définition. En outre, ils sont entrants ou sortants suivant le signe de $3x$ associé.

Par ailleurs, le point de départ de la spirale est par définition $\delta^{-1}(1)$. La question est donc de savoir si $\delta^{-1}(1)$ est sur un rayon entrant ou sortant. Clairement $3x \neq 1$ pour tout $x \in \{1..n/3\}$, donc $\delta^{-1}(1)$ est sur un rayon entrant si et seulement si $\exists r_1$ tel que $-(2n+1) + 3 \cdot r_1 = 1$. Cela n'est possible que si $3r_1 = 2(n+1)$ autrement dit $2n \equiv -2 \pmod{3}$ ou encore $n \equiv 2 \pmod{3}$.

Réciproquement, si $\delta^{-1}(1)$ est sur le rayon sortant, alors $\exists r_1$ tel que $(2n+1) - 3 \cdot r_1 = 1$ et donc $n \equiv 0 \pmod{3}$. \square

Ceci se généralise à toute racine primitive k , il suffit de chercher les orientations de $\delta^{-1}(i)$ pour $i = 1..(k-1)$, celle du rayon commençant par $1 = \delta^{-1}(k)$ étant entrante par définition.

Sur l'exemple de la figure 1, cela donne donc :

1. $5r_1 \equiv 1 \pmod{37}$ donne $r_1 = 15$ et $-5r_1 \equiv 1 \pmod{37}$ donnerait $r_1 = 22 > 18$. Donc le premier rayon commence à 15 et est entrant.
2. $2/5 \equiv 30 \pmod{37}$ et $2/(-5) \equiv 7 \pmod{37}$, donc le deuxième rayon commence à 7 et est sortant.
3. $3/5 \equiv 8 \pmod{37}$ et $3/(-5) \equiv 29 \pmod{37}$, donc le troisième rayon commence à 8 et est entrant.
4. $4/5 \equiv 23 \pmod{37}$ et $4/(-5) \equiv 14 \pmod{37}$, donc le quatrième rayon commence à 14 et est sortant.
5. Le cinquième rayon commence à 1 et est entrant par définition.

Ainsi, il suffit d'un calcul de pgcd pour déterminer $g^{-1} \pmod{2n+1}$, puis d'au plus $g-1$ multiplications et additions modulaires pour déterminer tous les rayons d'une queenne ainsi que leurs orientations, soit de l'ordre de $O(g \log^2(n))$ opérations arithmétiques.

Cela nous donne donc la procédure générale 1, probabiliste et polynomiale, pour déterminer les quenines.

ALGORITHME 1 Construction polynomiale d'une quenine

Entrée Un entier $n > 0$ tel que $2n + 1$ est premier.

Sortie g et une g -quenine d'ordre n .

- 1: Fabriquer une racine g primitive dans $\mathbb{Z}/2n+1\mathbb{Z}$, de manière probabiliste ;
{[Dubrois and Dumas, 2006, algorithme 3]}
 - 2: **Si** $g > n/2$ **Alors** $g := -g$ **Fin Si** { [Dumas, 2008, Corollaire 2]}
 - 3: $h \equiv g^{-1} \pmod{2n+1}$;
 - 4: **Pour** $k = 1$ **jusqu'à** $g - 1$ **Faire**
 - 5: $r_k = k \cdot h \pmod{2n+1}$;
 - 6: **Si** $r_k \leq n$ **Alors**
 - 7: Le k -ième rayon est entrant et commence à r_k ;
 - 8: **Sinon**
 - 9: Le k -ième rayon est sortant et commence à $2n + 1 - r_k$;
 - 10: **Fin Si**
 - 11: **Fin Pour**
 - 12: Le g -ième rayon est entrant et commence à 1 ;
-

3 Correspondance Roubaud-Asveld

Suivant Roubaud [Roubaud, 2000] ou Audin [Audin, 2009], nous définissons les variantes suivantes de la quenine ou seule l'orientation des rayons change. Avec deux rayons, il y a quatre couples d'orientations possibles pour des permutations de type spirale :

- Entrant-Sortant : il s'agit des quenines.
- Entrant-Entrant : ce sont les pérecquines.
- Sortant-Entrant : ce sont les mongines, car elles correspondent à des battements de cartes de G. Monge.
- Sortant-Sortant : nous proposons de les appeler **roubines** †.

Par ailleurs, il est possible de renverser complètement les permutations obtenues pour obtenir quatre nouvelles permutations. Si nécessaire nous noterons d'un indice 0 la permutation initiale et d'un indice 1 la permutation renversée, comme sur la figure 3.

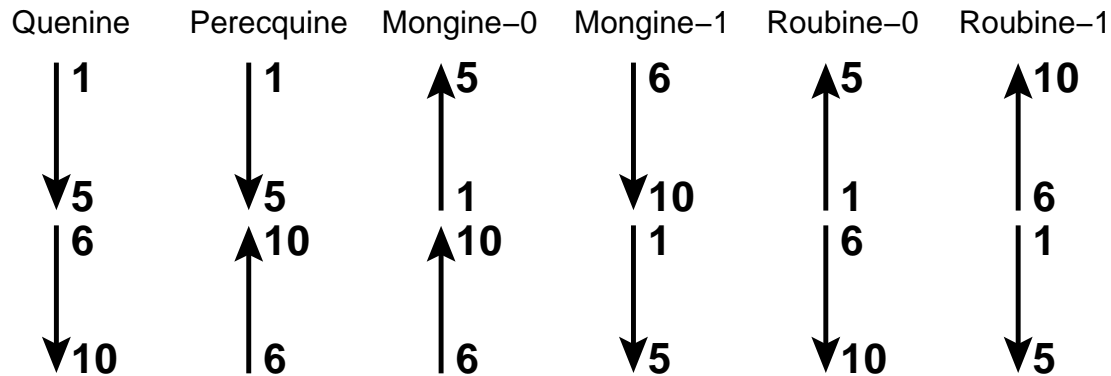


FIGURE 3 – Quenine, pérecquine, mongine et roubine de taille 10

Les quenines-1 et les pérecquines-1 laissant 1 invariant ne peuvent donner des cycles de longueur n , nous les laisserons donc de côté.

Dans la suite nous désignerons par permutation spirale toute permutation ayant une représentation graphique similaire.

†. Une roubine ou *robine* est également un petit canal de communication d'un étang salé avec la mer ; les roubines noires ou *terres noires* sont des marnes sombres présentes dans les alpes du sud.

DÉFINITION 1. Une permutation est dite **spirale** si et seulement si, quand les entiers qui la composent sont écrits sur une spirale, ceux se situant à un même angle (sur un même rayon) sont consécutifs.

Dans la table 1, nous donnons les correspondances entre ces permutations et celles issues de battements de cartes décrites dans [Asveld, 2009]. Pour les trois premiers cas, la correspondance est exacte et les caractérisations sont données dans [Roubaud, 2006], [Dumas, 2008] et [Asveld, 2009].

Spirale	Quenine	Pérecquine	Mongine-0	Mongine-1
P. Asveld	Twist	Perfect Shuffle	Archimedes-0	Archimedes-1
Permutation	$\delta \equiv (-1)^e 2m [n+1]$	$\pi \equiv 2m [n+1]$	$\mu_0 = \lceil \frac{n+1}{2} \rceil + (-1)^{m-1} \lceil \frac{m-1}{2} \rceil$	$\mu_1 = \lceil \frac{n}{2} \rceil + (-1)^m \lceil \frac{m-1}{2} \rceil$

TABLE 1 – Correspondances entre permutations spirales et Asveld

Dans la table 2, nous explicitons le cas de la roubine : il faut distinguer n pair de n impair ce qui avec les indices 0 et 1 donne 4 fonctions de définition des permutations, S' et $\overline{S'}$, qui correspondent à nos roubine-0 et roubine-1 de manière croisée.

Spirale	n pair		n impair	
	Roubine-0	Roubine-1	Roubine-0	Roubine-1
P. Asveld	S'	$\overline{S'}$	$\overline{S'}$	S'
Permutation	$\rho_{0p} = \begin{cases} n+2-2m \\ 2n+1-2m \end{cases}$	$\rho_{1p} \equiv -2x [n+1]$	$\rho_{0i} \equiv 1-2x [n]$	$\rho_{1i} \equiv 2-2x [n]$

TABLE 2 – Correspondances entre roubines et Asveld

Ainsi, nous pouvons donner des caractérisations pour les trois premières familles :

1. Quenines : i., ii. ou iii. du corollaire 1.
2. Pérecquine : si et seulement si 2 est racine primitive modulo $2n+1$.
3. Mongine-0 : si et seulement si n est pair et (ii.) [Roubaud, 2006].
4. Mongine-1 : si et seulement si n est impair et (i. ou iii.) [Asveld, 2009, Th. 4.3].

Il reste donc à déterminer la caractérisation des roubines. Celle-ci est l'objet des deux derniers points de la conjecture [Asveld, 2009, Conj. 7.2], que nous démontrons ci-après.

4 L'ordre des roubines

Nous montrons d'abord la correspondance entre les formules de la table 2 et les définitions de [Asveld, 2009, §7.4].

LEMME 2. Les formules des roubines de la table 2 sont correctes.

Démonstration. Pour n donné, [Asveld, 2009, §7.4] définit $\overline{k} = \lceil \frac{n+1}{2} \rceil$ et $k = \lceil \frac{n}{2} \rceil$. Si n est impair alors $2\overline{k} = 2k = n+1$ et

$$p(\overline{S'}, n) = \rho_{0i} = \begin{cases} n+1-2m & \text{si } 1 \leq m < k \\ n-2(m-k) = n-2m+n+1 & \text{sinon} \end{cases} \equiv 1-2m \pmod{n}$$

ainsi que

$$p(S', n) = \rho_{1i} = \begin{cases} n+2-2m & \text{si } 1 \leq m < k \\ n+1-2(m-k) = n+1-2m+n+1 & \text{sinon} \end{cases} \equiv 2-2m \pmod{n}.$$

De la même manière, si n est pair alors $2\bar{k} = n + 2$, mais $2k = n$ et

$$p(\bar{S}', n) = \rho_{1p} = \begin{cases} n + 1 - 2m & \text{si } 1 \leq m < k \\ n - 2(m - k) = n - 2m + n + 2 & \text{sinon} \end{cases} \equiv -2m \pmod{(n + 1)}$$

ainsi que

$$p(S', n) = \rho_{0p} = \begin{cases} n + 2 - 2m & \text{si } 1 \leq m < k \\ n + 1 - 2(m - k) = n + 1 - 2m + n & \text{sinon} \end{cases} .$$

□

Avec ces congruences il est ensuite aisé de conclure sur la conjecture [Asveld, 2009, Conj. 7.2].

THÉORÈME 1. 1. ρ_{0p} est d'ordre n si et seulement si $n = 2$.

2. ρ_{0i} est d'ordre n si et seulement si $n = 3^k$.

3. ρ_{1p} est d'ordre n si et seulement si -2 est racine primitive de $n + 1$.

4. ρ_{1i} est d'ordre n si et seulement si $n = 3^k$.

Démonstration. On utilise la caractérisation suivante des générateurs congruentiels linéaires [Knuth, 1997, Théorème 3.2.1.2.A] : un générateur $X_{n+1} = aX_n + c \pmod{n}$ est d'ordre n si et seulement si $\text{pgcd}(c, n) = 1$, $a - 1$ est divisible par tous les facteurs premiers de n et $a - 1$ est un multiple de 4 si n est un multiple de 4.

1. $\rho_{0p}(1) = n$ et $\rho_{0p}(n) = 1$ donc l'orbite de 1 est de taille 2.

2. ρ_{0i} est un générateur congruentiel linéaire. Ainsi, il est d'ordre n si et seulement si 1 est premier avec n et les diviseurs de n divisent également $a - 1 = -2 - 1 = n - 3$, donc si et seulement si $n = 3^k$.

3. la preuve est identique à celle des pérecquines (voir par exemple [Dumas, 2008, Th. 5]).

4. ρ_{1i} est un générateur congruentiel linéaire. Ainsi, il est d'ordre n si et seulement si 2 est premier avec n impair et les diviseurs de n divisent également $a - 1 = -2 - 1 = n - 3$, donc si et seulement si $n = 3^k$.

□

Il s'avère donc que la roubine-1 est plus intéressante que la roubine-0, nous la noterons donc dorénavant simplement roubine. Les figures 4 et 5 montrent les roubines pour $n = 6$ et $n = 9$, d'ordre n , et la table 3 donne les les roubines inférieures à 2500.

1	3	4	6	9	12	22	27	28	36	46	52	60	70
78	81	100	102	148	166	172	180	190	196	198	238	243	262
268	270	292	310	316	348	358	366	372	382	388	420	460	462
478	486	502	508	540	556	598	606	612	646	652	660	676	700
708	718	729	742	750	756	772	796	820	822	828	838	852	862
876	886	940	966	982	990	1030	1038	1060	1062	1086	1108	1116	1150
1212	1222	1228	1230	1236	1276	1278	1300	1302	1318	1366	1372	1380	1438
1446	1452	1486	1492	1510	1542	1548	1558	1566	1582	1606	1620	1636	1662
1668	1692	1732	1740	1758	1782	1822	1846	1860	1870	1876	1878	1900	1948
1950	1972	1996	2028	2038	2052	2062	2068	2086	2110	2140	2187	2206	2212
2220	2236	2238	2268	2292	2308	2310	2332	2356	2388	2398	2422	2436	2446
2476													

TABLE 3 – Les roubines inférieures à 2500

Bien sûr, les roubines se généralisent pour tout multiplicateur : dans le cas où n est pair, à tout multiplicateur g dont $-g$ est racine primitive de $n + 1$; dans le cas impair, pour tout $n = p_1^{\alpha_1} \dots p_j^{\alpha_j}$, à tout multiplicateur $g = p_1^{\alpha_1} \dots p_j^{\alpha_j} - 1$ tel que $\alpha_i \geq 1$ pour tout i . Il s'en suit que tous les nombres impairs peuvent s'écrire sous la forme d'une roubine : en prenant par

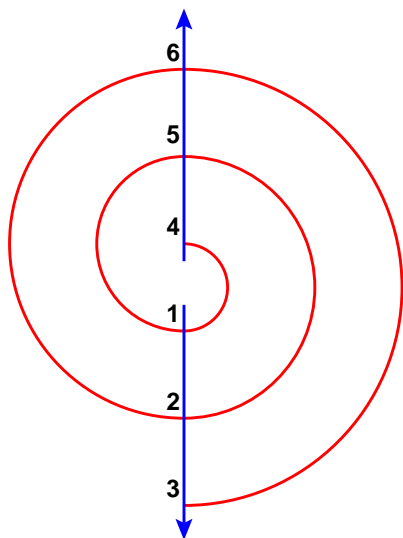


FIGURE 4 – La 6-roubine

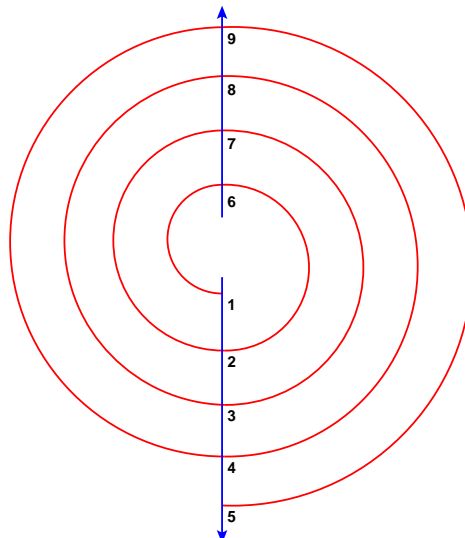


FIGURE 5 – La 9-roubine

exemple $g = n - 1$ on obtient $\delta = 2 - gx \equiv 2 + x \pmod n$ qui est bien d'ordre n . Cette dernière roubine n'est cependant pas très intéressante puisqu'elle possède $n - 1$ rayons! Les roulines avec au moins deux éléments par rayon sont plus jolies, il s'agit des n multiples d'au moins un carré, car ainsi on peut prendre $g < n/2$. Les figures 6 et 7 présentent respectivement une roubine paire de multiplicateur 3 et une roubine impaire de multiplicateur 4.

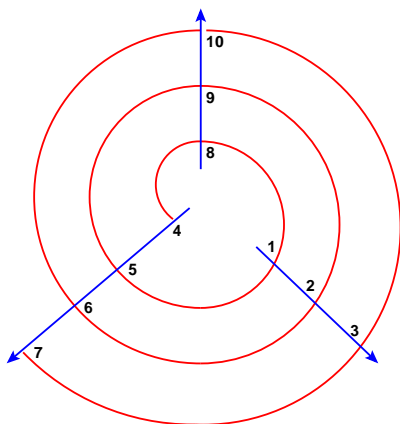


FIGURE 6 – La 10-roubine de multiplicateur 3

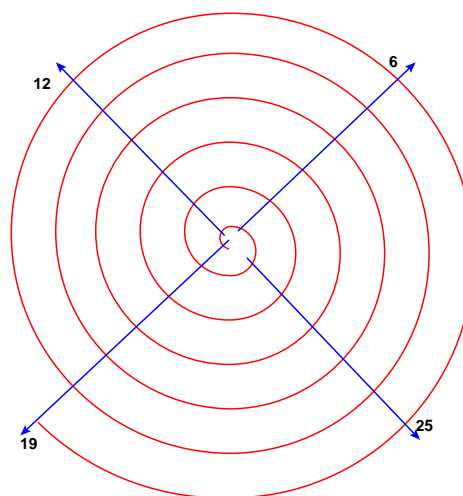


FIGURE 7 – La 25-roubine de multiplicateur 4

5 Les spirales

Avec les roulines, et plus précisément, les générateurs congruentiels, l'ensemble des entiers possédant une permutation spirale s'est considérablement agrandi. Aux n tels que $2n + 1$ soit premier (avec les quenines, les mongines) et tels que $n + 1$ soit premier (pérecquines, roulines), on ajoute au moins les entiers impairs divisibles par un carré, et même tous les entiers impairs, si l'on s'autorise les roulines à $n - 1$ rayons. Cela induit donc l'idée d'une généralisation aux entiers pairs, par un générateur congruentiel. Afin de pouvoir obtenir des permutations d'ordre

maximal, il faudra additionner un élément c , premier avec n ; choisissons donc $c = 1$, et un multiplicateur a tel que les diviseurs premiers de n , et 4 si celui-ci divise n , divisent également $a - 1$. On obtient alors la définition 2 qui permet d'obtenir une permutation spirale pour tout n . Les *spinines* sont définies dans [Roubaud, 2000] comme des permutations obtenues par effacements à partir de quenines. Nous choisissons alors de dénommer *spirales* ces nouvelles permutations.

DÉFINITION 2. Soient $n \in \mathbb{N}$ et g premier avec n . La n -spirale de multiplicateur g , ou n, g -spirale, est la permutation de $1..n$ dans $1..n$ vérifiant $\gamma_{n,g}(m) \equiv 1 - g \cdot m \pmod{n}$.

THÉORÈME 2. [Knuth, 1997, Théorème 3.2.1.2.A] Une n, g -spirale est d'ordre n si et seulement si tous les diviseurs premiers de n divisent $g + 1$ et si $g + 1$ est un multiple de 4 quand n l'est aussi.

De même que pour les roubines, les rayons des spirales sont uniquement sortants et comme pour les constructions précédentes, les valeurs finales sont les images réciproques de $1..g$ par $\gamma_{n,g}$. Les figures 8 et 9 montrent des spirales d'ordre n . La figure 9 est à comparer avec la roubine de mêmes paramètres, figure 7.

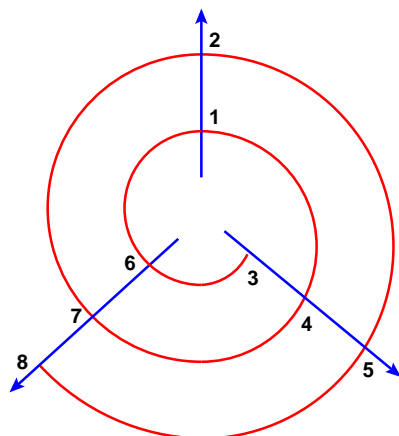


FIGURE 8 – La 8-spirale de multiplicateur 3

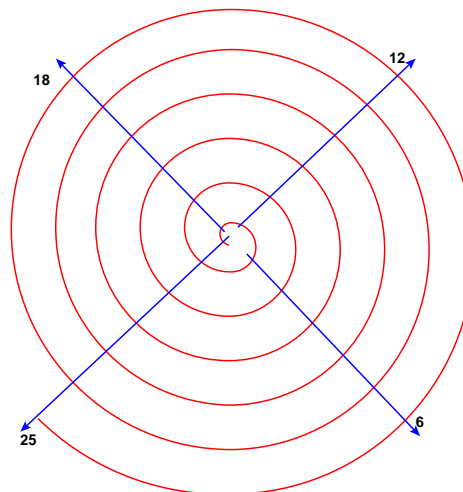


FIGURE 9 – La 25-spirale de multiplicateur 4

En combinant les quenines ($2n + 1$ premier tout comme les mongines), les pérecquines ($n + 1$ premier tout comme certaines roubines), les roubines, et surtout les spirales (pour tout n), tous les entiers possèdent dorénavant au moins une permutation spirale. Néanmoins, quand n est sans carré, les roubines impaires et les spirales nécessitent d'avoir $n - 1$ rayons d'après le théorème 2. Leur esthétique est donc assez réduite. On parlera alors de **jolie** spirale quand $2n + 1$ ou $n + 1$ est premier ou quand n possède un carré. Celles-ci possèdent au plus $n/2$ rayons et chaque rayon comporte au moins deux éléments.

DÉFINITION 3. Une permutation spirale est **jolie** si et seulement si chaque rayon comporte au moins 2 entiers.

Cette définition nous permet également de classer la beauté des permutations spirales : entre deux permutations, la plus jolie sera celle qui comporte le moins de rayons.

Au final, il reste tout de même assez peu d'entiers ne possédant pas de jolie spirale, la table 4 recense ceux inférieurs à 1000.

Comme la densité des entiers sans carré est asymptotiquement $Q(n) = \frac{6n}{\pi^2} + O(\sqrt{n})$ d'après [Hardy and Wright, 2008, Théorème 333] un peu plus de 60% des entiers possèdent donc de jolies spirales.

7	13	17	19	31	34	37	38	43	47	55	57	59	61
62	67	71	73	77	79	85	87	91	93	94	97	101	103
107	109	110	115	118	122	123	127	129	133	137	139	142	143
145	149	151	154	157	159	161	163	167	170	177	181	182	185
187	193	195	197	199	201	202	203	205	206	211	213	214	217
218	223	227	229	235	237	241	246	247	253	255	257	258	259
263	265	266	267	269	271	274	277	283	286	287	290	291	295
298	301	302	305	307	311	313	314	317	318	319	322	327	331
334	335	337	339	347	349	353	355	357	362	365	367	370	373
374	377	379	381	383	385	389	390	391	394	395	397	399	401
402	403	406	407	409	415	417	421	422	427	433	434	435	437
439	445	446	447	449	451	454	457	458	461	463	465	467	469
471	474	479	481	482	487	489	493	494	497	499	501	503	505
511	514	517	518	521	523	526	527	533	535	537	538	541	542
547	553	555	557	559	563	565	566	569	571	573	574	577	579
582	583	587	589	591	595	597	599	601	602	607	609	610	613
617	619	622	623	626	627	631	633	634	635	643	647	649	654
655	661	662	665	667	669	670	671	673	674	677	678	679	681
685	687	689	691	694	695	697	698	701	703	705	706	707	709
710	715	717	721	727	730	731	733	734	737	739	745	751	753
754	757	758	759	762	763	766	767	769	770	773	777	778	781
782	787	790	793	794	795	797	799	802	805	807	811	814	815
817	821	823	827	829	830	835	839	842	843	851	853	857	859
863	865	869	871	874	877	878	881	883	885	887	889	890	895
897	898	899	901	902	903	907	913	914	917	919	921	922	926
929	934	937	941	942	943	947	949	951	955	957	958	959	962
967	969	971	973	977	978	979	983	985	987	991	994	995	997

TABLE 4 – Entiers inférieurs à 1000 ne possédant pas de jolie spirale

6 Les sortines

Grâce à la notion de rayon, nous pouvons encore étendre la notion de permutation spirale à partir de la représentation graphique : toute permutation ayant une représentation spirale avec des rayons sur lesquels les entiers sont consécutifs, quelque soit l'orientation et la séquence de ces rayons, cf définition 1.

Afin de pouvoir décrire ces permutations, nous définissons une syntaxe des rayons : ceux-ci peuvent être entrants ou sortants comme en section 3 et nous donnons les entiers extrêmes du rayon, les autres étant consécutifs, de l'extérieur de la spirale vers l'intérieur comme explicité table 5.

Direction	Signification
x<-y	rayon sortant, décroissant de x vers y
x->y	rayon entrant, croissant de x vers y

TABLE 5 – Syntaxe des rayons de spirale

Par exemple, la 5-dixhuitine, figure 1, peut se décrire simplement, avec cette syntaxe, par [15->18 7<-4 8->11 14<-12 1->3] et la 25-spirale de multiplicateur 4, figure 9, par [25<-19 6<-1 12<-7 18<-13].

Le nombre de possibilités est donc exponentiel par rapport à n . Nous pouvons néanmoins distinguer certaines familles. Par exemple nous parlerons de permutation **ordonnée** si les valeurs maximales de chaque rayon se suivent dans la syntaxe de manière décroissante.

- DÉFINITIONS 1.**
- i. Une permutation spirale est **ordonnée** si et seulement si les entiers maximaux des rayons sont strictement décroissants.*
 - ii. Nous pouvons aussi dire naturellement qu'une permutation est **entrante** (resp. **sortante**) si tous ses rayons sont entrants (resp. sortants).*
 - iii. Enfin, une permutation ordonnée sortante (resp. entrante) est appelée **sortine** (resp. **entrine**).*

Ainsi, la 8-spiraline de multiplicateur 3, $[8<-6 \ 5<-3 \ 1<-2]$, figure 8, est donc ordonnée et sortante, c'est donc une sortine. Au contraire, $[7<-4 \ 3<-1 \ 10<-8]$, la 10-roubine de multiplicateur 3, figure 6, est sortante, comme toutes les roubines, mais désordonnée.

Avec ce nombre de possibilités décuplé, nous pouvons, enfin, donner deux jolies septines ordonnées, figure 10, celle de gauche étant sortante. À notre connaissance ce sont les premières jolies permutations spirales d'ordre 7.

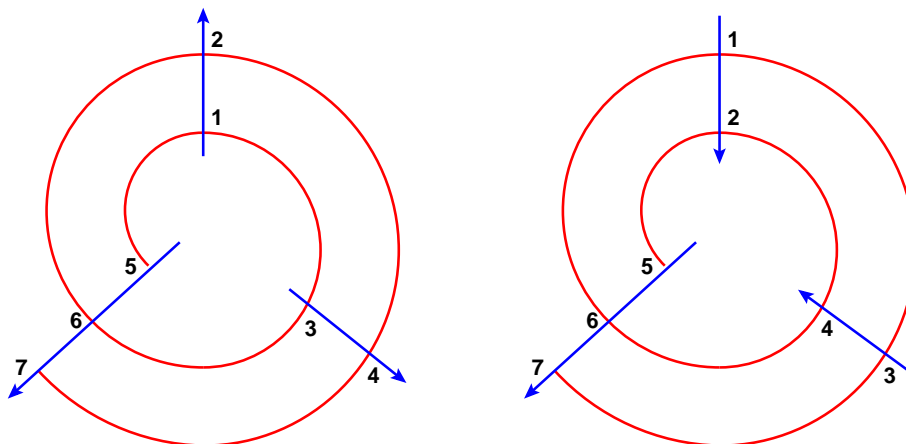


FIGURE 10 – Septines ordonnées

Nous donnons dans l'algorithme 2 la construction des permutations spirales ordonnées sortantes, ou **sortines**.

ALGORITHME 2 Construction d'une sortine

Entrée Deux entiers $n > g > 0$.

Sortie La n, g -sortine.

1: $m := n \bmod g$;	{Nombre de grands rayons}
2: $L := \lfloor \frac{n}{g} \rfloor + 1$;	{Longueur des grands rayons}
3: $l := \lfloor \frac{n}{g} \rfloor$;	{Longueur des petits rayons}
4: Pour $k = 0$ jusqu'à $m - 1$ Faire	
5: $x := n - kL$;	{Point de départ du $k + 1$ -ième grand rayon}
6: $R_{k+1} = [x<-(x-L+1)]$;	
7: Fin Pour	
8: Pour $k = m$ jusqu'à $g - 1$ Faire	
9: $x := n - kl - m$;	{Point de départ du $k - m + 1$ -ième petit rayon}
10: $R_{k+1} = [x<-(x-l+1)]$;	
11: Fin Pour	

Cette construction est donc en deux parties distinctes dès que g ne divise pas n . Cela rend délicate la détermination de l'ordre des sortines. Nous pouvons cependant donner les propriétés suivantes.

PROPRIÉTÉS 1. *i. Si g divise $n + 1$, la n, g -sortine et la n, g -spirale sont identiques.*

ii. Si g divise n alors

(a) la n, g -entrine et la n, g -pérecquine sont identiques.

(b) l'ordre d'une n, g -permutation spirale ordonnée à premier et dernier rayons sortants n'est jamais n .

(c) si n et g sont impairs, l'ordre d'une n, g -permutation spirale ordonnée n'est jamais n .

Démonstration. *i. On a donc $n \equiv -1 \pmod{g}$, soit, dans l'algorithme 2, $m = g - 1$ et $L = \frac{n+1}{g} = l + 1$, ou encore $gL = n + 1$ et $gl = n + 1 - g$. Pour tous les grands rayons,*

$k = 0..(g-2)$, les valeurs de la permutations sont $p(g \cdot i + (k+1)) = n - kL - i$. En posant $j = n - kL - i$ on obtient pour la permutation inverse $p^{-1}(j) = gi + (k+1) = g(n - kL - j) + k + 1 = gn - k(n+1) - gj + k + 1 \equiv 1 - gj \pmod n$ comme pour la spiruline. Il reste le cas du seul petit rayon. Pour $k = g-1$, on obtient : $p(g \cdot i + (k+1)) = p(gi + g) = n - kl - m - i = n - (g-1)l - (g-1) - i = n - (g-1)L - i = n - (n+1) + L - i = l - i$. Ce qui donne, si $j = l - i$, $p^{-1}(j) = gi + g = g(l - j) + g = (n+1 - g) - gj + g \equiv 1 - gj \pmod n$, encore une fois comme la spiruline.

- ii. g divise n , tous les rayons sont donc de même taille, $m = 0$ et $gl = n$.
 - (iib) $p(1) = n - 0l - 0 = n$ et $p(n) = n - (g-1)l - 0 - l + 1 = n - gl + 1 = 1$ car si $n \equiv 0 \pmod g$, alors $gl = g\lfloor \frac{n}{g} \rfloor = n$.
 - (iia) les valeurs de la permutation entrante sont donc $p(g \cdot i + k) = n - kl + 1 + i$. On obtient alors pour la permutation inverse $p^{-1}(j) = g \cdot (-n + kl - 1 + j) + k = -g(n+1) + jg + k(n+1) \equiv j \cdot g[n+1]$, tout comme pour la pérecquine.
 - (iic) Si n est impair, $\frac{n+1}{2}$ est exactement au milieu de la sequence $1..n$. Si g est impair et g divise n , $\frac{n+1}{2}$ est également au milieu d'un rayon. Si la spirale est ordonnée, ce rayon est exactement au milieu des rayons, et alors $p(\frac{n+1}{2}) = \frac{n+1}{2}$. La permutation possède alors un point fixe et ne peut donc former de cycle de longueur n .

□

7 Toutes les jolies permutations spirales

À partir de l'algorithme 2, il est possible d'obtenir les 2^g permutations ordonnées de taille n : il suffit de changer l'orientation des rayons aux lignes 6 et 10.

Aussi, la table 6 donne des jolies permutations ordonnées, à nombre minimal de rayons, pour les premiers des entiers de la table 4, qui en étaient dépourvus.

n	g	Rayons de la permutation
7	3	[7<-5 3->4 1->2]
13	4	[13<-10 7->9 6<-4 3<-1]
17	6	[15->17 14<-12 9->11 8<-6 3->5 2<-1]
19	5	[16->19 12->15 11<-8 7<-4 1->3]
31	3	[31<-21 11->20 1->10]
34	4	[26->34 25<-17 16<-9 8<-1]
37	10	[37<-34 30->33 29<-26 25<-22 21<-18 14->17 13<-10 7->9 6<-4 3<-1]
38	8	[38<-34 33<-29 28<-24 23<-19 18<-14 9->13 5->8 1->4]
43	7	[43<-37 36<-31 30<-25 24<-19 18<-13 7->12 1->6]
47	6	[47<-40 39<-32 24->31 23<-16 15<-8 1->7]
55	4	[42->55 28->41 14->27 13<-1]
57	6	[48->57 38->47 37<-28 27<-19 18<-10 9<-1]
59	5	[59<-48 47<-36 35<-24 23<-12 1->11]
61	6	[61<-51 41->50 40<-31 21->30 20<-11 1->10]

TABLE 6 – Quelques jolies permutations spirales ordonnées à nombre minimal de rayons

Par recherche exhaustive, il est en effet possible de déterminer le nombre minimal de rayons pour une jolie permutation spirale ordonnée. La table 7 recense le nombre minimal de rayons pour les jolies permutations spirales inférieures à 500.

En outre, la table 8 donne le plus petit entier nécessitant au moins g rayons pour obtenir une jolie permutation spirale ordonnée. La première occurrence d'un nombre minimal de 28 rayons est donnée table 9 pour la spirale ordonnée de taille 52624.

Enfin, les permutations spirales ordonnées ne sont pas forcément les plus jolies, en témoigne par exemple cette très jolie trente-septine : [37<-28 18<-10 27<-19 1->9], et la table 10 qui donne quelques plus petits entiers nécessitant au moins g rayons pour obtenir une jolie

-	-	-	2	2	2	3	3	2	2	2	2	4	2	4	7	6	2	5	3	
5	5	2	8	6	2	2	2	2	2	3	3	2	4	2	2	10	8	2	6	
2	3	7	3	6	7	6	13	6	2	2	2	2	4	4	3	6	2	5	2	
6	5	6	10	2	2	6	3	2	7	7	7	5	2	4	7	6	3	4	8	
2	2	2	8	7	2	8	8	2	2	8	5	5	5	2	7	6	2	2	2	
6	4	6	3	2	2	6	6	7	3	5	11	2	5	10	3	7	6	2	8	
8	5	8	7	3	3	4	3	4	2	2	5	6	2	2	6	11	2	4	3	
5	5	6	8	9	2	10	2	6	5	7	3	6	6	2	6	6	2	5	6	
10	2	9	9	6	8	6	9	9	6	8	2	2	2	3	3	8	2	2	2	
6	6	2	10	10	2	6	10	2	8	2	10	6	2	9	2	7	3	4	3	
6	6	6	8	8	8	8	11	2	2	7	5	9	5	8	7	12	3	10	10	
2	3	6	3	6	2	12	6	10	2	2	6	2	4	9	7	8	7	2	7	
7	4	2	7	2	10	11	11	9	9	2	8	5	2	6	10	8	8	10	3	
2	4	11	12	12	8	7	2	7	2	3	6	2	2	6	12	6	9	2	6	12
2	3	8	3	6	7	6	13	9	8	10	2	2	4	7	3	12	7	2	6	6
6	4	2	10	4	2	7	3	2	5	8	5	6	7	8	2	6	6	6	3	3
8	5	2	7	7	2	7	7	2	2	11	10	10	10	7	8	8	2	8	8	8
9	7	9	9	8	2	8	2	6	2	8	6	11	2	12	10	11	8	2	12	12
6	6	8	12	10	6	4	6	10	7	2	2	10	3	2	9	10	2	4	4	4
7	6	7	9	10	2	10	2	6	6	6	6	2	9	9	6	9	2	10	12	12
9	9	12	3	8	7	12	7	5	2	2	5	2	2	8	9	9	2	2	2	2
8	7	10	10	10	2	10	3	2	5	2	7	6	4	8	7	8	2	8	3	3
2	2	2	14	10	8	7	12	9	7	6	5	2	6	3	9	9	8	10	2	2
10	3	10	3	8	2	8	7	9	2	8	10	2	8	4	3	12	12	12	11	11
6	7	2	9	3	3	16	3	5	2	2	5	7	6	2	10	6	10	10	12	12

TABLE 7 – Nombre minimal de rayons pour les 500 premières jolies permutations spirales ordonnées

g	2	3	4	5	6	7	8	9	10
n	4	7	13	19	17	16	24	145	37
g	11	12	13	14	15	16	17	18	19
n	112	217	48	444	535	487	1731	784	1552
g	20	21	22	23	24	25	26	27	28
n	6856	5032	5776	15048	8724	13455	16815	62307	52624

TABLE 8 – Première occurrence d'un nombre minimal de rayons de permutation spirale ordonnée

[52624<-50745 50744<-48865 48864<-46985 45105->46984 45104<-43225 43224<-41345 41344<-39465
39464<-37585 37584<-35705 35704<-33825 33824<-31945 31944<-30065 30064<-28186 28185<-26307
24428->26306 22549->24427 22548<-20670 20669<-18791 18790<-16912 16911<-15033 15032<-13154
13153<-11275 9396->11274 9395<-7517 5638->7516 3759->5637 3758<-1880 1879<-1]

TABLE 9 – Spirale ordonnée de taille 52624 et de rayon minimal 28

g	2	3	4	5	6	7	8	9	10	11	12
n	4	7	13	47	61	120	840	3360	2521	10080	27721

TABLE 10 – Première occurrence d'un nombre minimal de rayons de permutation spirale quelconque

[23101<-20791 18481->20790 18480<-16171 16170<-13861 13860<-11551 9241->11550
6931->9240 25411<-23102 25412->27721 4621->6930 2311->4620 2310<-1]
[23101<-20791 18481->20790 18480<-16171 25411<-23102 16170<-13861 11551->13860
27721<-25412 9241->11550 9240<-6931 4621->6930 2311->4620 1->2310]
[23101<-20791 18481->20790 25411<-23102 18480<-16171 13861->16170 13860<-11551
27721<-25412 9241->11550 9240<-6931 6930<-4621 2311->4620 2310<-1]
[23101<-20791 25411<-23102 18481->20790 16171->18480 13861->16170 27721<-25412
13860<-11551 9241->11550 9240<-6931 6930<-4621 2311->4620 1->2310]
[23101<-20791 25411<-23102 18481->20790 16171->18480 16170<-13861 13860<-11551
25412->27721 11550<-9241 9240<-6931 6930<-4621 2311->4620 2310<-1]
[23101<-20791 27721<-25412 18481->20790 18480<-16171 23102->25411 13861->16170
11551->13860 9241->11550 9240<-6931 4621->6930 2311->4620 1->2310]
[25411<-23101 25412->27721 23100<-20791 20790<-18481 18480<-16171 13861->16170
11551->13860 11550<-9241 9240<-6931 4621->6930 2311->4620 1->2310]
[27721<-25411 23101->25410 20791->23100 18481->20790 18480<-16171 16170<-13861
11551->13860 9241->11550 6931->9240 6930<-4621 4620<-2311 2310<-1]

TABLE 11 – Quelques spirales de taille 27721 et de rayon minimal 12, la dernière étant ordonnée

permutation spirale, la recherche exhaustive pour un seul g étant de complexité $O(g! \cdot 2^g \cdot n)$: $g!$ ordres des rayons, 2^g orientations des rayons et au plus n opérations pour le calcul de l'orbite de 1. Ainsi, des spirales de taille 27721 et de rayon minimal 12 sont données table 11 ; la recherche exhaustive pour les rayons inférieurs à 11 de cette spirale a nécessité $\sum_{g=2}^{11} g! \cdot 2^g \cdot n \approx 1.055 \cdot 2^{51}$ opérations pour environ 153 jours de CPU et une semaine de calcul en temps partagé sur 32 processeurs IA-64 à 1.3GHz. Au contraire, il suffit de quelques secondes pour en trouver plusieurs de rayon 12.

Ces données empiriques, résumées figure 11, nous indiquent qu'au prix d'une orientation quelconque des rayons il semble toujours possible de trouver de jolies permutations spirales.

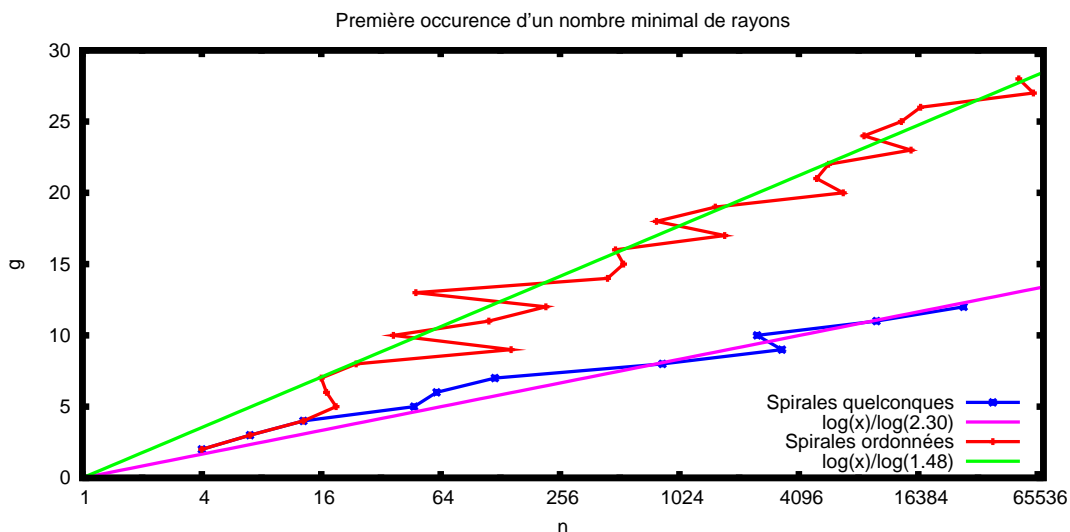


FIGURE 11 – Ordre de grandeur des rayons minimaux de jolies spirales

- CONJECTURES 1.**
- i. Tout entier possède une jolie permutation spirale.*
 - ii. Tout entier possède une jolie permutation spirale ordonnée.*
 - iii. Le rayon minimal d'une jolie permutation spirale est en $O(\log(n))$.*
 - iv. Le rayon minimal d'une jolie permutation spirale ordonnée est en $O(\log(n))$.*

8 Représentation carrée

Une représentation alternative des permutations est une représentation rectangulaire comportant les points de coordonnées $(x, p(x))$. Dans cette représentation, les rayons des permutations spirales deviennent des segments de points alignés, où les rayons entrants et sortants sont parallèles entre eux, et l'angle des rayons sortants est le symétrique de l'angle des rayons entrants, comme sur la figure 12.

Avec cette représentation, il est possible de définir des permutations à aiguilles puis des permutations spirales carrées à aiguilles [Atkinson et al., 2008] : à partir d'un centre carré 3142 ou 2413 on ajoute des points au niveau des coins du carré central, de plus en plus loin et en tournant autour du carré dans un certain sens, comme sur la figure 13.

Si le sens est fixe et l'éloignement linéaire, nous parlerons alors de *spirale carrée à aiguilles*, même si les auteurs de [Atkinson et al., 2008] parlent simplement de permutation spirale, ce qui est pour le moins excentrique. En revanche, ces spirales ne sont jamais d'ordre n .

PROPOSITION 1. *Les spirales carrées à aiguilles ne sont jamais d'ordre n .*

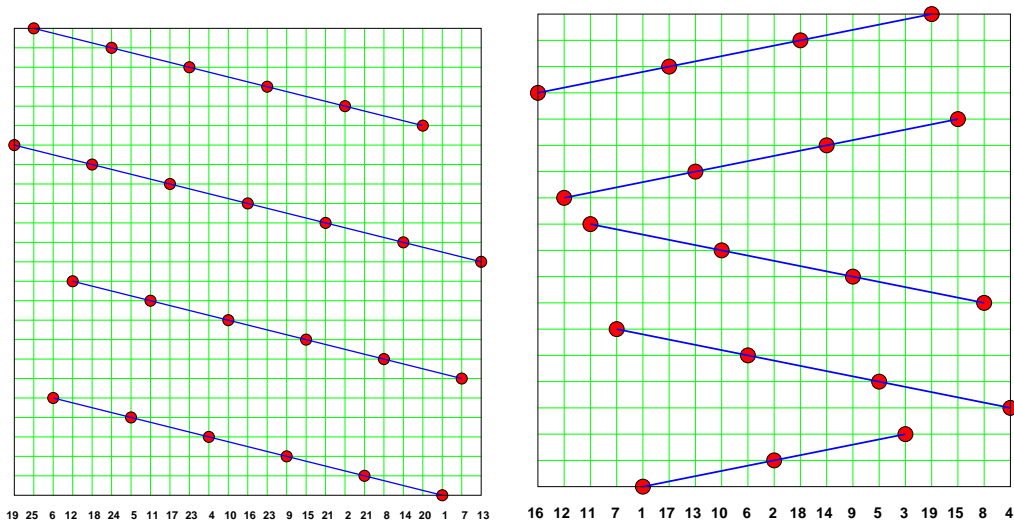


FIGURE 12 – Représentations carrées de la 25,4-roubine et de la 19,5-spirale ordonnée

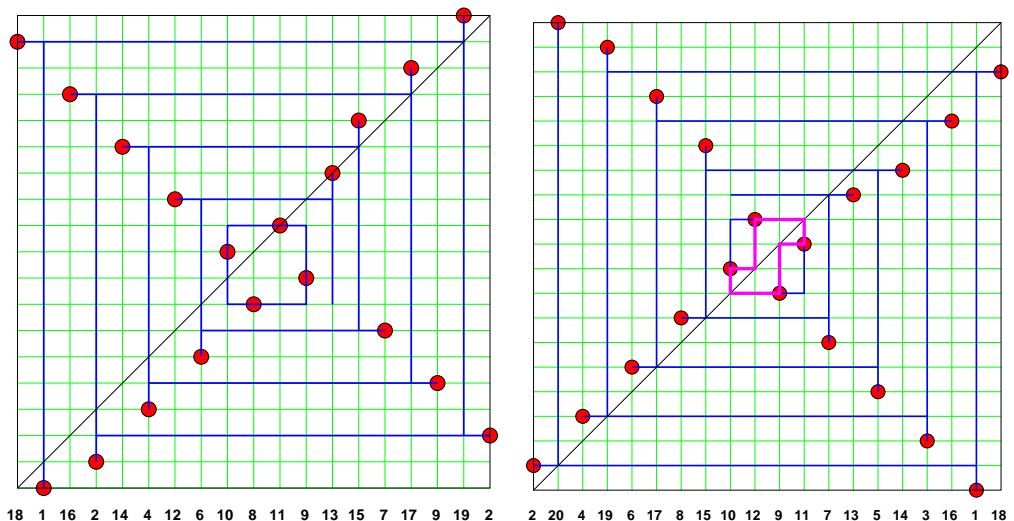


FIGURE 13 – Spirales carrées à aiguilles

Démonstration. En effet, le centre carré 3142 ou 2413 se retrouve toujours au centre de la permutation, au plus décalé de deux positions. Quitte à renuméroter de $-\frac{n}{2}$ à $\frac{n}{2}$ au lieu de l'habituel $1..n$, on obtient, pour chacun des deux centres, les 5 configurations possibles de coordonnées des points, données dans la table 12.

En effet, l'alternance bas, gauche, haut, droite ou bas, droite, haut, gauche ajoute les éléments deux par deux de chaque côté du centre. Ainsi, pour chacune de ces 10 configurations on obtient soit un point fixe soit un cycle de longueur 4. Dans aucun cas l'ordre de la permutation ne peut donc être n . \square

Pour la spirale carrée à aiguilles de taille 19 dans la figure 13 gauche, on trouve ainsi la configuration du centre 3142 aux ordonnées 10, 8, 11, 9 et abscisses 9, 10, 11, 12, avec donc 11 comme point fixe. La spirale carrée à aiguilles de taille 20, dans la figure 13 droite, comporte elle un centre de type 2413 aux ordonnées 10, 12, 9, 11 et abscisses 9, 10, 11, 12, avec donc (9 10 12 11) comme cycle interne.

Malheureusement, cela sera le lot de toute configuration spirale dans la représentation carrée. En effet, comme celles-ci devront démarrer la spirale au centre, les valeurs centrales se retrou-

Ordonnée	3142**	3142*	3142	*3142	**3142
Abscisse	**1234	*1234	1234	1234*	1234**
Cycle	(2)	(1)	(1 3 4 2)	(4)	(3)
Ordonnée	2413**	2413*	2413	*2413	**2413
Abscisse	**1234	*1234	1234	1234*	1234**
Cycle	(1)	(3)	(1 2 4 3)	(2)	(4)

TABLE 12 – Configurations des centres des spirales carrées

veront sans doute dans un cycle. Un autre exemple est la configuration spirale plus naturelle définie comme suit : à partir d'un point central, le prochain point se trouve soit immédiatement au-dessus à gauche ou à droite, soit immédiatement en-dessous à gauche ou à droite des points précédemment placés, et cela en tournant dans le sens horaire ou anti-horaire, comme sur les exemples de la figure 14.

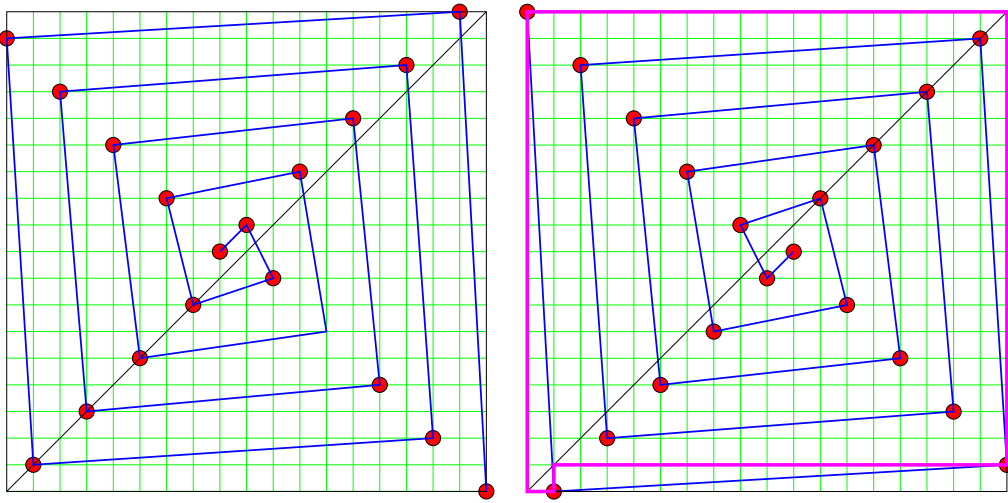


FIGURE 14 – Spirales carrées régulières

Ces spirales, dénommées spirales carrées régulières, ne possèdent pas non plus de cycle de longueur n .

PROPOSITION 2. *Les spirales carrées régulières ne sont jamais d'ordre n .*

Démonstration. Il y a deux sens de rotation et, pour chacun, quatre fins de spirales : en bas à gauche (alors 1 est un point fixe), en bas à droite, en haut à gauche et en haut à droite (alors n est un point fixe). Il reste donc deux fois deux cas à regarder, chacun comportant également un point fixe :

- Fin en haut à gauche et sens horaire : $p(1) = n$ et $p(2) = 1$, puis en remontant la spirale, $p(n) = 2$ et $p(n - 1) = n - 1$.
- Fin en haut à gauche et sens anti-horaire : $p(1) = n$ et $p(n) = n - 1$, puis en remontant la spirale, $p(n - 1) = 1$ et $p(2) = 2$.
- Fin en bas à droite et sens horaire : $p(n) = 1$ et $p(n - 1) = n$, puis en remontant la spirale, $p(1) = n - 1$ et $p(2) = 2$.
- Fin en bas à droite et sens anti-horaire : $p(n) = 1$ et $p(1) = 2$, puis en remontant la spirale, $p(2) = n$ et $p(n - 1) = n - 1$.

□

On remarque en outre, dans la démonstration et sur les figures 14 que les spirales carrées régulières ne comportent que des points fixes et des cycles de longueur 3.

9 Conclusion

Nous avons approfondi les liens entre les permutations spirales, les battements de cartes et les générateurs congruentiels linéaires. Le lien avec les bases normales optimales mériterait plus d'attention, en particulier en quoi une permutation d'ordre maximal peut induire une matrice à nombre d'éléments non nuls minimal ? Les périodes de Gauß [Mullin et al., 1989] sont peut-être une clef.

Ensuite nous avons donné une construction polynomiale des permutations spirales dépendant de la construction efficace d'une racine primitive.

Par ailleurs, nous avons étendu le bestiaire de Jacques Roubaud aux roubines, aux spirales et aux sortines afin de doter tout nombre entier d'une permutation spirale, le cas des permutations carrées ayant été écarté. En outre, nous avons proposé une alternative, à représentation spirale, à la méthode des effacements, donnant une jolie permutation spirale, sans doute à tout entier. Toutefois, la caractérisation du nombre minimal de rayons nécessaire à l'obtention d'une jolie permutation spirale ordonnée, et a fortiori d'une jolie permutation spirale quelconque, reste à faire.

Références

- [Arndt, 2010] Arndt, J. (2010). *Matters Computational*. <http://www.jjj.de/fxt/#fxtbook>, to appear.
- [Asveld, 2009] Asveld, P. R. J. (2009). Permuting operations on strings : Their permutations and their primes. Technical report, TR-CTIT-09-26, Centre for Telematics and Information Technology, University of Twente, Enschede.
- [Atkinson et al., 2008] Atkinson, M., Ruskuc, N., and Smith, R. (2008). Wreath-closed permutation classes. In *Permutation Patterns 2008, Dunedin, New Zealand*.
- [Audin, 2009] Audin, M. (2009). Poésie, spirales, et battements de cartes. *Images des Mathématiques*, 18. <http://images.math.cnrs.fr/Poesie-spirales-et-battements-de.html>.
- [Bach and Shallit, 1996] Bach, E. and Shallit, J. (1996). *Algorithmic Number Theory : Efficient Algorithms*. MIT press.
- [Dubrois and Dumas, 2006] Dubrois, J. and Dumas, J.-G. (2006). Efficient polynomial time algorithms computing industrial-strength primitive roots. *Information Processing letters*, 97(2) :41–45.
- [Dumas, 2008] Dumas, J.-G. (2008). Caractérisation des quenines et leur représentation spirale. *Mathématiques et Sciences Humaines*, 4(184) :9 – 23.
- [Hardy and Wright, 2008] Hardy, G. H. and Wright, E. M. (2008). *An Introduction to the Theory of Numbers*. Oxford University Press, sixth edition.
- [Jantzen, 1981] Jantzen, M. (1981). The power of synchronizing operations on strings. *Theoretical Computer Science*, 14(2) :127–154.
- [Knuth, 1997] Knuth, D. E. (1997). *Seminumerical Algorithms*, volume 2 of *The Art of Computer Programming*. Addison-Wesley, Reading, MA, USA, 2nd edition.
- [Mullin et al., 1989] Mullin, R. C., Onyszchuk, I. M., Vanstone, S. A., and Wilson, R. M. (1989). Optimal normal bases in $\text{GF}(p^n)$. *Discrete Applied Mathematics*, 22(2) :149–161.
- [Roubaud, 2000] Roubaud, J. (2000). Réflexions historiques et combinatoires sur la n-ine autrement dit quenine. *La bibliothèque Oulipienne*, 5(66) :99–124. Contribution à la réunion 395 de l'Oulipo, le 17 septembre 1993.
- [Roubaud, 2006] Roubaud, J. (2006). Battement de monge. *La bibliothèque Oulipienne*, 158.

A Preuve du corollaire 1

La caractérisation des quenines est la suivante : $2n + 1$ étant premier, soit $\mathbb{Z}/2n+1\mathbb{Z}$ le corps à $2n + 1$ éléments, alors n est admissible si et seulement si :

- Soit 2 est d'ordre $2n$ (2 est racine primitive) dans $\mathbb{Z}/2n+1\mathbb{Z}$.
- Soit n est impair et 2 est d'ordre n dans $\mathbb{Z}/2n+1\mathbb{Z}$.

Nous devons donc démontrer que $2n + 1$ étant premier, alors n est admissible si et seulement si :

- i. $n \equiv 1 \pmod{4}$; +2 est primitif et -2 d'ordre exactement n dans $\mathbb{Z}/2n+1\mathbb{Z}$
- ii. $n \equiv 2 \pmod{4}$; +2 et -2 sont racines primitives dans $\mathbb{Z}/2n+1\mathbb{Z}$
- iii. $n \equiv 3 \pmod{4}$; -2 est primitif et +2 d'ordre exactement n dans $\mathbb{Z}/2n+1\mathbb{Z}$

Démonstration. La caractérisation du corollaire contient la caractérisation des quenines (si $n \equiv 1$ ou 2 alors 2 est d'ordre $2n$, et si $n \equiv 3$ alors n est impair et 2 est d'ordre n), il suffit donc de démontrer la réciproque. Pour cela, il faut démontrer les points suivants :

- i. 2 est d'ordre $2n$ est incompatible avec $n \equiv 0 \pmod{4}$ ou $n \equiv 3 \pmod{4}$.
- ii. 2 est d'ordre n est incompatible avec $n \equiv 1 \pmod{4}$.
- iii. -2 est d'ordre n quand $n \equiv 1 \pmod{4}$.
- iv. -2 est d'ordre $2n$ quand $n \equiv 2 \pmod{4}$.
- v. -2 est d'ordre $2n$ et 2 est d'ordre n quand $n \equiv 3 \pmod{4}$.

Le caractère de résiduïté de 2 (voir par exemple [Bach and Shallit, 1996, Théorème 5.8.1]) nous donne plusieurs réponses et le reste se déduit simplement :

- i. Si $n \equiv 0 \pmod{4}$ (resp. $n \equiv 3 \pmod{4}$) alors $2n + 1 \equiv 1 \pmod{8}$ (resp. $2n + 1 \equiv 7 \pmod{8}$) et donc dans les deux cas 2 est un résidu quadratique modulo $2n + 1$. Ce qui implique que l'ordre de 2 ne peut donc pas être maximal $2n$, mais seulement inférieur ou égal à n .
- ii. Au contraire, si $n \equiv 1 \pmod{4}$ alors $2n + 1 \equiv 3 \pmod{8}$ et donc dans cas 2 n'est pas un résidu quadratique modulo $2n + 1$. Supposons alors que l'ordre de 2 est n . Il s'en suit que $2^n \equiv 1$ ou encore $2^{4k+1} \equiv 1$. Cela implique que $2^{4k+2} \equiv (2^{2k+1})^2 \equiv 2$ et donc 2 serait un résidu quadratique ce qui est absurde.
- iii. Le point précédent et [Dumas, 2008, Théorème 1] montrent que lorsque $n \equiv 1 \pmod{4}$, 2 est d'ordre $2n$. Alors $2^n \equiv -1$ et donc $(-2)^n \equiv (-1)^n \times 2^n \equiv 1$ car n est impair. Ainsi, l'ordre de -2 vérifie $e \leq n$ et $(-2)^e \equiv 1$. Cette dernière équation implique que $2^{2e} = ((-2)^e)^2 \equiv 1$ et donc que $2n$, l'ordre de 2, vérifie $2n|2e$, combiné à $e \leq n$, on obtient $e = n$.
- iv. Soit e l'ordre de -2, encore une fois $2^{2e} \equiv 1$. Si $n \equiv 2 \pmod{4}$ alors [Dumas, 2008, Théorème 1] prouve que 2 est d'ordre $2n$ et donc $2n|2e$, soit $e = n$ ou $e = 2n$. Comme 2 est primitif, on a également $2^n \equiv -1$, ou encore comme n est pair, $(-2)^n \equiv -1$ et donc $e \neq n$.
- v. Le premier point ci-dessus et [Dumas, 2008, Théorème 1] montrent que 2 est forcément d'ordre n quand $n \equiv 3 \pmod{4}$. Soit e l'ordre de -2, encore une fois $2^{2e} \equiv 1$ et donc $n|2e$. Cette fois-ci, n est impair et donc $n|e$, de sorte que $e = n$ ou $e = 2n$; dans les deux cas $2^e \equiv 1$. Mais comme e est l'ordre de -2, alors $1 \equiv (-2)^e = (-1)^e \times 2^e$, donc e est forcément pair et donc $e = 2n$.

□